

1 Spreadsheet Data Extractor (SDE): A Performance-Optimized, 2 User-Centric Tool for Transforming Semi-Structured Excel 3 Spreadsheets into Relational Data

4
5
6 ANONYMOUS AUTHOR(S)
7 SUBMISSION ID: 1505
8

9 CCS Concepts: • Applied computing → Spreadsheets; • Information systems → Data cleaning;
10 Software and its engineering → Extensible Markup Language (XML); • Human-centered computing
11 → Graphical user interfaces; • Theory of computation → Data compression.

12 ACM Reference Format:

13 Anonymous Author(s). 2025. Spreadsheet Data Extractor (SDE): A Performance-Optimized, User-Centric Tool
14 for Transforming Semi-Structured Excel Spreadsheets into Relational Data. In *Proceedings of 2025 International
15 Conference on Management of Data (SIGMOD '25)*. ACM, New York, NY, USA, ?? pages. <https://doi.org/10.1145/XXXXXX.XXXXXXX>

18 1 INTRODUCTION

19 [?] A multitude of organizations across various sectors, including healthcare[?], nonprofit[?] [?],
20 finance, commerce, industry, academia, and government [?] frequently encounter difficulties when
21 attempting to analyse and utilize semi-structured data derived from spreadsheets. The absence of a
22 defined structure within this data presents significant challenges for analysis and utilization.

23 This is the case for data stored in spreadsheet files like Excel. The data is not stored in a simple
24 machine-readable wide- or long-format; rather, it is stored in a format that is designed for human
25 perception, including layout with empty cells for padding, combined cells, hierarchies in column
26 headers, multiple tables below one another, and so on. This is illustrated in Figure ?? These layout
27 techniques facilitate the comprehension of the information by humans, but they also render the
28 data non-machine readable. A computer program treats the spreadsheet as a two-dimensional array
29 of values. It treats empty cells in the same way as it treats cells that contain actual data.

30 Compared to unstructured data in raw text, unstructured data in spreadsheets has the following
31 advantages: The hierarchy of metadata within spreadsheets is easy to comprehend for a human.
32 Headlines like *Germany* and *Berlin*, referring to our example in Figure ??, combined column headers
33 like *Stock of Calves and Young Cattle* on top of multiple other column headers like *Quantity* and *LU*
34 make the metadata hierarchy clear to humans. The target data structure can be closely inspired
35 by that visible hierarchy and can be created with a relatively low amount of domain knowledge.
36 Furthermore, the values are encoded in single cells and can be uniquely referenced by the file, sheet
37 name and row and column index.

38 The objective is to transform this data into a machine-readable form. When considering the
39 means to achieve this objective, several approaches present themselves.

41 Permission to make digital or hard copies of all or part of this work for personal or classroom use is granted without fee
42 provided that copies are not made or distributed for profit or commercial advantage and that copies bear this notice and the
43 full citation on the first page. Copyrights for components of this work owned by others than the author(s) must be honored.
44 Abstracting with credit is permitted. To copy otherwise, or republish, to post on servers or to redistribute to lists, requires
45 prior specific permission and/or a fee. Request permissions from permissions@acm.org.

46 *SIGMOD '25, June 22–27, 2025, Berlin, Germany*

47 © 2025 Copyright held by the owner/author(s). Publication rights licensed to ACM.

48 ACM ISBN 978-1-4503-XXXX-X/25/06...\$15.00

49 <https://doi.org/10.1145/XXXXXX.XXXXXXX>

50 The SDE converts semi-structured spreadsheet data into structured formats by allowing users to
51 define data hierarchies without programming knowledge.

52 The Spreadsheet Data Extractor (SDE) enables users to transform the data from spreadsheets into
53 structured data by selecting cells containing metadata and values to describe the data hierarchy. To
54 streamline the process, users can copy previously described hierarchies to similar spaces in the
55 sheets, eliminating the need to select every cell and hierarchy repeatedly. Users do not require any
56 programming knowledge to extract the data from the spreadsheet files.

57 Previous work by Alexander Aue, Norbert Röder, and Andrea Ackermann introduced a tool
58 that facilitates data extraction from Excel files. While effective, this solution faced performance
59 issues and inaccuracies in rendering cell dimensions, limiting its usability with large and complex
60 datasets. In this paper, we build upon their foundational work by releasing the software under the
61 open-source GNU Public License Version 3 (GPLv3) and introducing several key enhancements.
62 These improvements include implementing incremental loading of worksheets to enhance perfor-
63 mance, accurately rendering row heights and column widths by parsing XML data, and optimizing
64 the rendering engine to handle large datasets efficiently. Additionally, we have integrated the
65 selection hierarchy and worksheet view into a unified interface to improve user experience. These
66 contributions collectively address the limitations of the existing solution, making data extraction
67 from complex spreadsheets more efficient and user-friendly.

69 2 CONTRIBUTION

70 Wir bauen auf der bestehenden Arbeit von Alexander Auer, Norbert Röder und Andrea Ackermann
71 auf. Zusätzlich dazu veröffentlichen wir die Software nun unter der Open Source Lizenz GNU
72 Public Licence Version 3 und tragen folgende Verbesserungen bei. Die bestehende Lösung nutzte
73 das Dart-Package excel, um die .xlsx-Dateien zu öffnen. Dies war jedoch sehr langsam, da das Paket
74 die gesamte .xlsx-Datei zunächst vollständig einliest. Wir haben daher eine eigene Funktionalität
75 in Dart implementiert, die die Excel-Arbeitsblätter inkrementell lädt. Außerdem hat die bestehende
76 Lösung die Zellwerte aus der .xlsx-Datei ausgelesen, dabei jedoch die Breiten und Höhen der Zeilen
77 und Spalten ignoriert und stattdessen deren Größe selbst berechnet, basierend auf dem in den Zellen
78 enthaltenen Text. Dies führte jedoch zu sehr breiten Zellen, die in der ursprünglichen Datei tatsäch-
79 lich deutlich schmäler waren. Dies lag daran, dass einige Zellen in derselben Spalte sehr langen
80 Text enthielten, um einen Titel darin zu speichern. Durch diese übermäßig breiten Spalten wurde
81 die Navigation durch das Arbeitsblatt erschwert. Im Vergleich zur ursprünglichen Lösung bietet
82 unsere Version eine Funktionalität, die die Spalten- und Zeilenhöhen und -breiten korrekt ausliest
83 und diese so darstellt, wie es Excel tut. So wird der Benutzer nicht von der Darstellung überrascht.
84 Die bestehende Lösung hat weiterhin die Zellen gezeichnet, selbst wenn sie nicht im Aktuellen
85 Viewport sichtbar waren. Das Städte erhebliche Probleme da, wenn Arbeitsblätter mit sehr vielen
86 Zellinhalten geöffnet werden. Die Performance sankt dabei so stark herab, dass das Programm
87 nicht mehr benutzbar war. Aus diesem Grund haben wir einen Mechanismus implementiert, dass
88 nur zellinhalte gezeichnet werden, die auch tatsächlich sichtbar sind.

90 3 RELATED WORK

91 The extraction of relational data from semi-structured documents, particularly spreadsheets, has
92 garnered significant attention due to their ubiquitous use across domains such as business, govern-
93 ment, and scientific research. Several frameworks and tools have been developed to address the
94 challenges of converting flexible spreadsheet formats into normalized relational forms suitable for
95 data analysis and integration. Notable among these are **DeExcelerator**, **XLIIndy**, **FLASHRELATE**,
96 **Senbazuru**, **TableSense** und den Ansatz von Aue et al. auf dessen arbeit wir aufbauen.

Name	Technologies	Output	Accessibility	Frequency
DeExcelerator	heuristics	cleaned data	partially open source	last publication 2015
FlashRelate	AI programming-by-example	cleaned data	proprietary, no access	last publication 2015
Senbazuru	AI	cleaned data	partially open source	last commit 2015
XLindy	AI	cleaned data	no access	cancelled
TableSense	AI	diagrams	proprietary, no access	last commit 2021

Table 1. Spreadsheet Data Extractor counterparts

3.1 Aue et al.'s Converter

Aue et al. [?] developed a tool aimed at facilitating data extraction from Excel spreadsheets by utilizing the Dart 'excel' package to open '.xlsx' files. Users can select cells containing data and metadata to define the data hierarchy. However, this method encounters performance bottlenecks as the package requires loading the entire '.xlsx' file into memory before processing, leading to slow response times, especially with large files. Additionally, their solution calculates row heights and column widths based solely on cell content, disregarding the actual dimensions specified in the Excel file. This results in discrepancies between the tool's rendering and the original spreadsheet. The tool also renders all cells regardless of their visibility within the viewport, causing significant performance degradation when handling worksheets with numerous cells.

3.2 DeExcelerator

Eberius et al. [?] introduced **DeExcelerator**, a framework that transforms partially structured spreadsheets into first normal form relational tables using heuristic-based extraction phases. It addresses challenges such as table detection, metadata extraction, and layout normalization. While effective in automating normalization, its reliance on predefined heuristics limits adaptability to heterogeneous or unconventional spreadsheet formats, highlighting the need for more flexible approaches.

3.3 XLIndy

Koci et al. [?] developed **XLIndy**, an interactive Excel add-in with a Python-based machine learning backend. Unlike DeExcelerator's fully automated heuristic approach, XLIndy integrates machine learning techniques for layout inference and table recognition, enabling a more adaptable and accurate extraction process. XLIndy's interactive interface allows users to visually inspect extraction results, adjust configurations, and compare different extraction runs, facilitating iterative fine-tuning. Additionally, users can manually revise predicted layouts and tables, saving these revisions as annotations to improve classifier performance through (re-)training. This user-centric approach enhances the tool's flexibility, allowing it to accommodate diverse spreadsheet formats and user-specific requirements more effectively than purely heuristic-based systems.

3.4 FLASHRELATE

Barowy et al. [?] presented **FLASHRELATE**, an approach that empowers users to extract structured relational data from semi-structured spreadsheets without requiring programming expertise. FLASHRELATE introduces a domain-specific language, **FLARE**, which extends traditional regular

expressions with spatial constraints to capture the geometric relationships inherent in spreadsheet layouts. Additionally, FLASHRELATE employs an algorithm that synthesizes FLARE programs from a small number of user-provided positive and negative examples, significantly simplifying the automated data extraction process.

FLASHRELATE distinguishes itself from both DeExcelerator and XLIIndy by leveraging programming-by-example (PBE) techniques. While DeExcelerator relies on predefined heuristic rules and XLIIndy incorporates machine learning models requiring user interaction for fine-tuning, FLASHRELATE allows non-expert users to define extraction patterns through intuitive examples. This approach lowers the barrier to entry for extracting relational data from complex spreadsheet encodings, making the tool accessible to a broader range of users.

3.5 Senbazuru

Chen et al. [?] introduced **Senbazuru**, a prototype Spreadsheet Database Management System (SSDBMS) designed to extract relational information from a large corpus of spreadsheets. Senbazuru addresses the critical issue of integrating data across multiple spreadsheets, which often lack explicit relational metadata, thereby hindering the use of traditional relational tools for data integration and analysis.

Senbazuru comprises three primary functional components:

- (1) **Search**: Utilizing a textual search-and-rank interface, Senbazuru enables users to quickly locate relevant spreadsheets within a vast corpus. The search component indexes spreadsheets using Apache Lucene, allowing for efficient retrieval based on relevance to user queries.
- (2) **Extract**: The extraction pipeline in Senbazuru consists of several stages:
 - **Frame Finder**: Identifies data frame structures within spreadsheets using Conditional Random Fields (CRFs) to assign semantic labels to non-empty rows, effectively detecting rectangular value regions and associated attribute regions.
 - **Hierarchy Extractor**: Recovers attribute hierarchies for both left and top attribute regions. This stage also incorporates a user-interactive repair interface, allowing users to manually correct extraction errors, which the system then generalizes to similar instances using probabilistic methods.
 - **Tuple Builder and Relation Constructor**: Generates relational tuples from the extracted data frames and assembles these tuples into coherent relational tables by clustering attributes and recovering column labels using external schema repositories like Freebase and YAGO.
- (3) **Query**: Supports basic relational operations such as selection and join on the extracted relational tables, enabling users to perform complex data analysis tasks without needing to write SQL queries.

Senbazuru's ability to handle hierarchical spreadsheets, where attributes may span multiple rows or columns without explicit labeling, sets it apart from earlier systems like DeExcelerator and XLIIndy. By employing machine learning techniques and providing user-friendly repair interfaces, Senbazuru ensures high-quality extraction and facilitates the integration of spreadsheet data into relational databases.

3.6 TableSense

Dong et al. [?] developed **TableSense**, an end-to-end framework for spreadsheet table detection using Convolutional Neural Networks (CNNs). TableSense addresses the diversity of table structures and layouts by introducing a comprehensive cell featurization scheme, a Precise Bounding Box

197 Regression (PBR) module for accurate boundary detection, and an active learning framework to
198 efficiently build a robust training dataset.

199 While **DeExcelerator**, **XLIndy**, **FLASHRELATE**, and **Senbazuru** focus primarily on transforming-
200 spreadsheet data into relational forms through heuristic, machine learning, and programming-
201 by-example approaches, **TableSense** specifically targets the accurate detection of table boundaries
202 within spreadsheets using deep learning techniques. Unlike region-growth-based methods em-
203 ployed in commodity spreadsheet tools, which often fail on complex table layouts, TableSense
204 achieves superior precision and recall by leveraging CNNs tailored for the unique characteristics of
205 spreadsheet data. However, TableSense focuses on table detection and visualization, allowing users
206 to generate diagrams from the detected tables but does not provide functionality for exporting the
207 extracted data for further analysis.

209 3.7 Comparison and Positioning

210 While **DeExcelerator**, **XLIndy**, **FLASHRELATE**, **Senbazuru**, and **TableSense** each offer unique
211 approaches to spreadsheet data extraction, they share certain limitations. Many of these tools
212 are not readily accessible: **FLASHRELATE** and **TableSense** are proprietary, and **Senbazuru**,
213 **XLIndy**, and **DeExcelerator** are discontinued projects with limited or no source code availability.
214 In contrast, we contribute our spreadsheet data extractor under the GNU General Public License
215 v3.0, allowing the community to access, use, and improve the tool freely.

216 Moreover, unlike the aforementioned tools that rely on heuristics, machine learning, or AI
217 techniques—which can introduce errors requiring users to identify and correct—we adopt a user-
218 centric approach that gives users full control over data selection and metadata hierarchy definition.
219 While this requires more manual input, it eliminates the uncertainty and potential inaccuracies
220 associated with automated methods. To streamline the process and enhance efficiency, our tool
221 includes user-friendly features such as the ability to duplicate hierarchies of columns and tables,
222 and to move them over similar structures for reuse, reducing the need for repetitive configurations.

223 By combining the strengths of manual control with enhanced user interface features and per-
224 formance optimizations, our tool offers a robust and accessible solution for extracting relational
225 data from complex and visually intricate spreadsheets. These enhancements not only improve
226 performance and accuracy but also elevate the overall user experience, making our tool a valuable
227 asset for efficient and reliable data extraction from diverse spreadsheet formats.

228 4 METHODOLOGY

229 Der Spreadsheet Data Extractor funktioniert so, dass er erlaubt, dem Nutzer die Zellen, die Metadaten
230 und Daten enthalten, zu selektieren, um die Datenhierarchie zu beschreiben. Um den Prozess zu
231 optimieren, können Nutzer zuvor beschriebene Hierarchien in ähnliche Bereiche der Tabellen
232 kopieren, wodurch die Notwendigkeit entfällt, jede Zelle und Hierarchie wiederholt auszuwählen.
233 Benutzer benötigen dazu keine Programmierkenntnisse, um die Daten aus den Tabellendateien zu
234 extrahieren, da sie lediglich die Zellen per Mausklick auswählen müssen. An Folgendem Beispiel
235 soll das verdeutlicht werden.

236 In Abbildung ?? ist die Ansicht des Spreadsheet Data Extractor zu sehen. Oben links zeigt
237 die Hierarchie der Zell selektionen an, die aktuell noch leer ist. Oben rechts ist die Ansicht des
238 aktuell geöffneten Excel Worksheets: Eine Statistik über die Prognose des zukünftigen Angebots
239 an Pflegekräften in Deutschland. [?]. Im unteren Bereich der Oberfläche wird die ausgabe der zell
240 Selektion angezeigt um sofortiges feedback zu erhalten, ob die vorgenommenen Selektionen die
241 gewünschte ausgabe liefern. Aktuell enthält dieser bereich nur die selektierte Excel Datei ud das
242 selektierte arbeitsblatt. Das speichern dieser Daten erlaubt es dem Nutzer später die Ursprungsdatei
243 für die Daten in der Ausgabe csv Datei zu identifizieren.

246 import Excel sheets
 247 

Fig. 1

255 Abbildung ?? zeigt die Selektion der ersten Spalte. Dazu wurde ein Knoten eingefügt und
 256 anschließend auf die Metainformation geklickt, welche die meisten Zellen in dem Arbeitsblatt
 257 gemeinsam haben und die dementsprechend in der csv Datei am Anfang auftauchen sollte. In
 258 diesem Fall ist dies die Zelle mit dem Wert "Nursing Staff". In jedem Knoten können weitere Knoten
 259 eingebettet werden, die als eingerückte Kinder des aktuellen Knotens darstellt werden. Ein solcher
 260 Kind-Knoten kann von dem Benutzer eingefügt werden und als nächstes wird die Zelle "Total"
 261 gewählt, denn sie beschreibt die erste Untertabelle. Gleichzeitig ist diese Zelle nicht nur Überschrift
 262 für die Tabelle sondern beschreibt gleichzeitig die Zeile für die Summe der Pflegekräfte. Deshalb
 263 taucht "Total" auch in der nächsten Selektion auf, in der alle Zeilenbeschriftungen stehen: "Total",
 264 "15-20", "20-25". Die Zellen müssen nicht einzeln angeklickt werden. Es reicht die erste Zeile zu
 265 klicken und dan mit gedrückter Shift-Taste die letzte Zeile anzuklicken.
 266

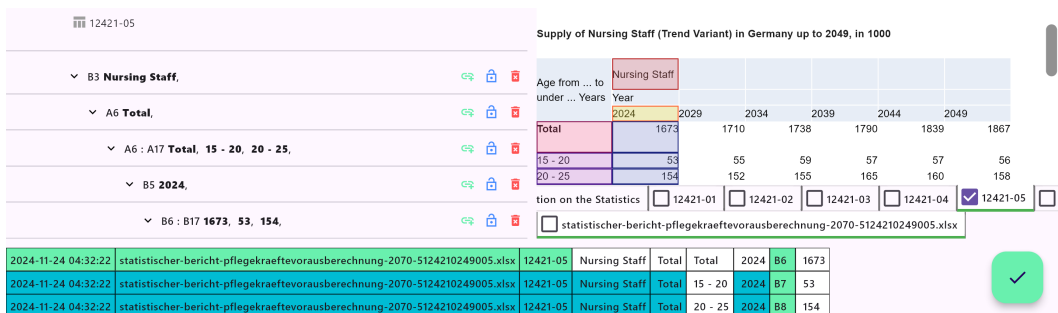
267 

Fig. 2

277 Als nächstes kann die Erste Spalte mit Daten eingefügt werden, dafür wird der nächste eingegebene
 278 Kind-Knoten eingefügt und der Spaltenheader "2024" ausgewählt, anschließend erhält der
 279 nächste Kind Knoten eine liste, dieses mal die Zellwerte der ersten Spalte (1673, 53, 154).

280 Die Hierarchie ist nun gefüllt mit 5 Knoten von denen jedes bis auf den letzten einen eingebetteten
 281 Kind-Knoten haben. Im Bereich oben rechts werden die selektierten Zellen mit unterschiedlichen
 282 Farben für jeden Knoten angezeigt.

283 Im unteren Bereich wird die Ausgabe angezeigt. Für jeden Knoten der als Kind eingebettet wird,
 284 erscheint in der Ausgabe eine weitere Spalte. Sind in der Selektion nicht nur einzelne Zellen
 285 angegeben, so erscheinen die Werte der Liste auch in der Ausgabe als Werte in einer neuen Zeile.

286 Bisher wurden für die Knoten keine Geschwisterknoten eingefügt. Das ändert sich nun, da die
 287 nächsten 5 Spalten auf der gleichen Hierarchieebene wie die erste Spalte eingefügt werden sollen.
 288 Die 5 Spalten müssen jedoch nicht genau so manuell eingetragen werden, wie die erste, denn die

Hiearchie der ersten spalte kann einfach kopiert und auf die anderen Spalten angewendet werden. Dazu wird der Knoten der ersten Spalte "2024" selektiert und darauf rechtsgeklickt. Ein Popup öffnet sich in dem die Aktion "move and duplicate" auftaucht, die nun geklickt werden sollte, wie in Abbildung ?? zu sehen ist.

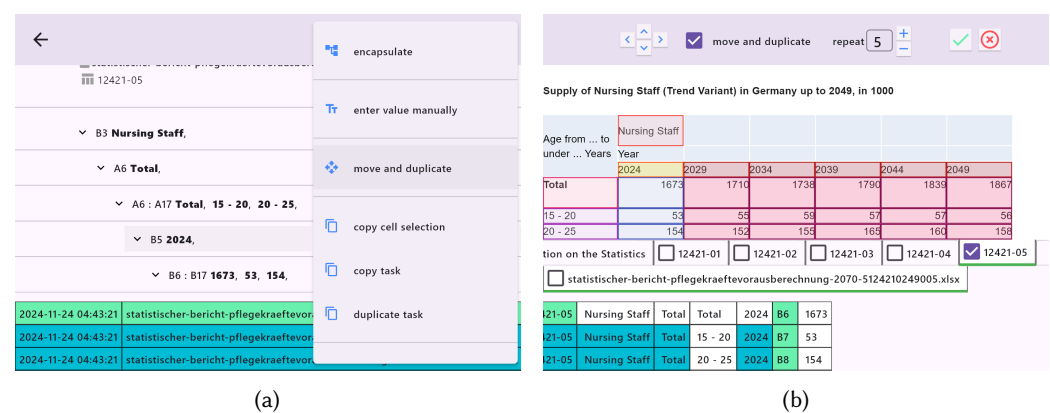


Fig. 3

Daraufhin öffnet sich in der App Bar oben rechts eine Reihe von schaltflächen, die erlauben die Zellenselektionen des Knotens sowie aller Kinderknoten zu verschieben wie in Abbildung ?? zu sehen ist. Durch das drücken auf die Schaltfläche zum verschieben der Selektion um eine Einheit nach rechts, ist die nächste Spalte ausgewählt, jedoch wird würde damit auch die Selektion der ersten Spalte wieder aufgehoben, da die Selektion verschoben wurde. Damit auch die erste Spalte erhalten bleibt, kann die Checkbox "move and duplicate" aktiviert werden. Dadurch wird die verschobene Selektion zusätzlich zur ursprungsselektion erstellt. Die Änderungen werden allerdings erst übernommen wenn auf den Akzeptieren button geklickt wird. Die nächsten SPalten könnten auf die gleich Art und Weise ebenfalls selektiert werden. Doch das geht auch schneller, denn statt nur einmal die selektion zu verschieben und gleichzeitig zu duplizieren, kann auch das eingabefeld "repeat" mit so vielen Wiederholungen gefüllt werden, wie es Spalten gibt. Mit der Eingabe der Nummer 5 wird damit die Selektion der ersten Spalte 5 mal um eine Einheit nach rechts verschoben und dabei bei jeden Schritt dupliziert.

Erst nachdem der Nutzer die verschobenen und duplizierten selektionen in der Worksheet ansieht überprüft hat und den Akzeptieren button geklickt hat, werden die Knoten in der Hierarchie wie gewünscht angelegt. Das Ergebnis dieser Operation ist in Abbildung ?? zu sehen.

Damit ist die erste Tabelle vollständig selektiert. Der daraus resultierende Graph ist in Abbildung ?? zu sehen. Zur vereinfachung ist das Beispiel auf die ersten 3 Spalten und die ersten 3 Zeilen der Tabelle beschränkt.

Um aus dem Selektionsgraphen ein relationales Format zu generieren wird darauf das cross product angewendet. Was dabei genau passiert ist in Abbildung ?? zu sehen. Dort wo der Graph mehrere Kanten hat, was in dem Beispiel für den Knoten mit der Liste der Werte "Total", "15-20", "20-25" gilt, wird der Knoten so häufig dupliziert, wie es Kanten gibt, sodass jeder Knoten nur noch eine Kante zum nächsten Knoten hat. Darüber hinaus werden Knoten, die keine Liste von Werten enthalten, sondern nur einen Wert enthalten, in eine Liste umgewandelt und ihr Wert wird so häufig dupliziert, bis die anzahl dem Verknüpften Knoten entspricht. So wird in dem Beispiel der Knoten mit dem Wert "2024" in eine Liste mit den Werten "2024", "2024", "2024" umgewandelt, damit er die gleiche Anzahl an Werten hat wie der verknüpfte Knoten mit den Werten "1673", "154", "53".

344 12421-05

345 Supply of Nursing Staff (Trend Variant) in Germany up to 2049, in 1000

346 B3 Nursing Staff, Age from ... to under ... Years

347 A6 Total, 2024 2029 2034 2039 2044 2049

348 A6 : A17 Total, 15 - 20, 20 - 25, Total 1673 1710 1738 1790 1838 1867

349 B5 2024, 15 - 20 53 55 59 57 56

350 B6 : B17 1673, 53, 154, 20 - 25 154 152 169 160 158

351 2024-11-24 04:47:51 statistischer-bericht-pflegekraeftevorausberechnung-2070-5124210249005.xlsx 12421-05 Nursing Staff Total Total 2024 B6 1673

352 2024-11-24 04:47:51 statistischer-bericht-pflegekraeftevorausberechnung-2070-5124210249005.xlsx 12421-05 Nursing Staff Total 15 - 20 2024 B7 53

353 2024-11-24 04:47:51 statistischer-bericht-pflegekraeftevorausberechnung-2070-5124210249005.xlsx 12421-05 Nursing Staff Total 20 - 25 2024 B8 154

Fig. 4

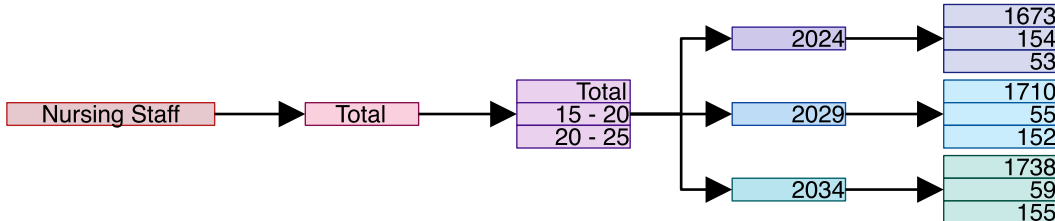


Fig. 5

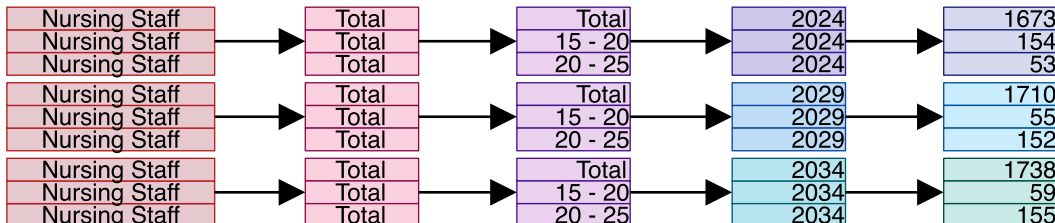


Fig. 6

377 Das gleiche was für die Spalten bereits so gut funktioniert hat, kann nun auch für die Untertabellen wiederholt werden, wie in Abbildung ?? zu sehen ist.

378 Durch das Selektieren des Knotens mit dem Wert "Total" und das drücken auf die Schaltfläche "move and duplicate" kann die Selektion der Untertabelle "Total" auf die anderen Untertabellen angewendet werden. Dazu muss die Tabelle um so viele Zeilen nach unten verschoben werden, bis sie mit der untertabelle überlappt. Dabei gibt es nur ein kleines Problem. Denn zu den Unterknoten des Knotens "Total" gehören auch die Spaltenheader dazu. Würden diese Spaltenheader in der Untertabelle darunter wiederholt werden, würde das verschieben der Selektionen nach unten unverändert funktionieren. Doch dadurch, dass diese Zellen in den untertabellen nicht wiederholt werden, muss dafür gesorgt werden, dass sich die Zellen mit den Spaltenheadern daran gehindert werden sich durch die funktion zum verschieben und kopieren mit verschoben werden. Zu diesem Zweck können einzelne Knoten von der verschiebung ausgenommen werden, dazu muss lediglich das Vorhägeschlock button geklickt werden, wodurch die Zellselektion nicht mehr in der verschiebung enthalten ist. Sie bleibt starr an ihrem ursprungsort, egal ob die anderen Zellen verschoben werden. Deshalb werden nun die Knoten mit den SPaltenheadern, also die mit den

393 <

394

395

396

397

398

399

400

401

402

403

404

405

406

Fig. 7

410
411
412
413
414 Jahreszahlen 2024 bis 2049 identifiziert und selektiert und über den button mit dem Vorhängeschloss
415 die Zellselektion die starr bleibt. Durch das verschieben nach unten und durch das damit verbundene
416 duplizieren können nun sehr einfach die Zellselektionen nach unten verschoben und dupliziert
417 werden. Durch das einsellen von 2 Wiederholungen werden alle untertabellen komplett ausgewählt.
418

419 This section outlines the technical foundation and software architecture of our enhanced tool. We
420 detail the methods employed to achieve a realistic representation of Excel files, optimize performance
421 when handling large datasets, and integrate an intuitive user interface that streamlines the data
422 extraction process.

- 423
- **Column Widths:** Extracted from the `<col>` elements in the worksheet XML, representing
424 the width in units based on the average character width. We apply a scaling factor of 7 to
425 convert these units to pixels. This factor was determined empirically to match the on-screen
426 appearance of Excel columns.
 - **Row Heights:** Specified in points (1/72 of an inch) within the `<row>` elements. We multiply
427 the height values by 4/3 to convert points to pixels, aligning with the standard screen
428 resolution of 96 DPI (dots per inch).

429 These scaling factors ensure that the rendered spreadsheet in our tool mirrors the dimensions
430 users expect from Excel, facilitating accurate data selection.

432 4.0.1 Rendering Cell Styles. We enhance the visual fidelity by applying cell styles during rendering:

- 433
- **Background Colors:** Extracted from the `<fill>` elements in `styles.xml`, we map the
434 style indices from the cell data to the corresponding color definitions. Colors are processed
435 in ARGB format for accurate display.
 - **Borders:** We parse border definitions to render cell edges appropriately. This includes the
436 style (e.g., solid, dashed) and color of each border side.
 - **Merged Cells Handling:** Merged cells are identified through the `<mergeCells>` elements.
437 We account for merged regions by appropriately adjusting the rendering of cell spans.

442 **4.1 Rendering Engine**

443 The rendering engine leverages Flutter's high-performance graphics capabilities to display the
444 spreadsheet efficiently.

445

446 **4.2 Inkrementelles laden der Excel Dateien.**

447 Wenn excel Dateien öffnet, dann lädt es zunächst die gesamte Datei mit allen Arbeitsblättern, bevor
448 das erste Arbeitsblatt zur Darstellung gebracht wird. Bei Dateien, die sehr große Arbeitsblätter
449 enthalten, kann dies einige Sekunden bis Minuten dauern. Den Benutzer, das extrahieren aus
450 einer Anzahl von Excel Dateien zu erleichtern, implementierten wir einen Mechanismus zum
451 Inkrementellen Laden von Excel Arbeitsblättern

452 Eine exe Datei ist ein zip Archiv, welches einer Reihe an XML Dateien enthält, die die Workshits
453 die Formatierungen und wiederkehrende Texte beschreiben. Unsere Lösung öffnet zunächst das
454 Archiv und extrahiert nur die Metainformationen der einzelnen darin verpackten Dateien. Dieser
455 Schritt dauert nur wenige Millisekunden, die meiste Zeit geht stattdessen dabei drauf, die einzelnen
456 eingebetteten Dateien wie die sharedStrings.xml Datei, die styles.xml Datei oder die einzelnen
457 worksheetX.xml Dateien zu, extrahieren. Da sowohl die Formatierungen aus der styles.xml Datei,
458 als auch die wiederkehrenden String aus der sharedStrings.xml Datei im so gut wie jedem worksheet
459 auftauchen, extrahieren wir diese auch gleich beim öffnen der Datei. Diese beiden Dateien sind
460 im Vergleich zu den Worksheet Datei aber relativ klein und das entpacken ällt daher nicht stark
461 ins Gewicht. Die worksheetX.xml Datei lassen wir aber zunächst unverpackt und speichern im
462 Arbeitsspeicher lediglich die Verpackte Datei zwischen. Erst wenn eine beliebige Zelle in dem
463 Worksheet von unserem Programm abgefragt wird, entweder weil der Benutzer den Worksheet
464 durch einen Klick darauf zur Anzeige gebracht hat, oder weil ein Unitest die Werte einer Excel
465 Datei überprüft, wird im Hintergrund auch erst die Archivdatei des Arbeitsblattes extrahiert. Auf
466 diese Weise wartet der Nutzer bei öffnen einer Excel Datei nur einen Bruchteil einer Sekunde,
467 bevor er mit dem Programm weiterarbeiten kann wohingegen Excel bei außergewöhnlich großen
468 Dateien einige Sekunden benötigen kann, bis das erste Arbeitsblatt angezeigt werden kann.

469 Öffnet der Benutzer ein anderes Arbeitsblatt, so wird auch dieses erst beim Zugriff auf das
470 Arbeitsblatt gepasst. Diese Vorgehensweise ermöglicht es uns jede Excel Datei nahezu sofort
471 dem Benutzer zur Anzeige zu bringen und ihm keine Wartezeiten im Öffnen der Excel Dateien
472 zuzumuten.

473

474 **4.3 Darstellung der Arbeitsblätter**

475 Damit der Benutzer keine Schwierigkeiten hat, sich im Worksheet zurechtzufinden, legen wir
476 großen Wert darauf, die Arbeitsblätter so anzuzeigen, dass sie der Anzeige in Excel sehr nahe
477 kommen.

478

479 **4.3.1 Anzeige der Höhe und Breite.** Unsere Lösung extrahiert die Informationen über die Spaltenbreiten und Zeilenhöhen aus dem Arbeitsblatt. Dabei ist darauf zu achten, dass in Excel die Spaltenbreiten und Zeilenhöhen in Einheiten gemessen werden. Diese müssen mit einem Faktor multipliziert werden, um die tatsächliche Höhe oder Breite in Pixeln zu erhalten. Wichtig dabei zu betrachten ist, dass dieser Faktor für die Spaltenbreiten und die Zeilenhöhen jeweils unterschiedlich ist. Damit die Spaltenbreite genauso bereit erscheint, wie sie in Excel erscheint, muss die angegebene Einheit in der XML Datei mit dem Faktor 7 multipliziert werden. Um die tatsächliche Zeilenhöhe in Pixeln zu erreichen, muss dagegen der Faktor 4/3 mit dem Wert der in der exe Datei angegeben wird, multipliziert werden. Die Werte haben wir durch eine Reihe von Tests ermittelt, indem wir Excel Dateien mit unterschiedlich großen Zellen erstellt haben und dann in der Worksheet Datei die Werte der Spaltenbreiten und Zeilenhöhen abgelesen haben. Nachdem

490

wir nach einer Reihe solcher tests die Werte eine schätzung der Werte ermittelt haben, haben wir die Breiten und Höhen in den Arbeitsblätter modifiziert und die Excel Datei geöffnet um die Breiten und höhen zu messen und zu verifizieren, dass unsere Schätzung korrekt war.

Wie es zu den Unterschiedlichen Faktoren für die Zeilenhöhe und die Spaltenbreite kommt, konnten wir dagegen nicht durch Recherche herausfinden.

4.4 Overflow

Genau wie in Excel auch achten wir darauf, dass Texte, die nicht in die Zelle hineinpassen durch einen Overflow in die anliegenden Zellen hineinragen. Doch das geschieht nur, wenn die anliegenden Zellen nicht selbst Werte enthalten. In dem Fall, dass die anliegenden Zellen Werte enthalten, wird der Text abgeschnitten. Dieses verhalten armen wir nach um die visuelle representation der Excel Datei so genau wie möglich nachzubilden.

Abbildung PLATZHALTER zeigt, wie es aussieht, wenn man das nicht umsetzt. Der Text "Nursing Staff" ragt in die Zelle hinein, die rechts daneben liegt. In Excel würde der Text in die Zelle hineinragen, die rechts daneben liegt, wenn diese Zelle leer ist. In unserem Programm wird der Text abgeschnitten, wenn die Zelle rechts daneben einen Wert enthält.

4.5 Performance

Um hohe bildwiederholraten auch bei großen Arbeitsblätter zu gewährleisten, haben wir den Spreadsheet Data extractor so optimiert, dass er nur die Zellen Zeichnet , die auch tatsächlich sichtbar sind. Zu diesem zweck nutzen wird die seit Aug 17, 2023 erstmals erschienene package two_dimensional_scrollables. [?].

Da wir alle Spaltenbreiten und Zeilen Höhen aus den xml Dateien extrahieren, können wir diese Nutzen um zu berechnen, wie hoch und wie breit jede zelle ist und indem die breiten bzw höhen aufaddiert werden können wir auch berechnen an welcher koordinate sich die Zelle befindet. Die Koordinaten und breiten und höhen lkönnen dann genutzt werden um zu berechnen, welche Zellen aktuell sichtbar sind und alle anderen Zellen beim Zeichnen ignorieren. Dazu wird das aktuelle Scroll Offset in der x und y Achse berücksichtigt. Durch die Höhe und breite des Panels, welches das Excel Arbeitsblatt anzeigt, wird ein viewport aufgespannt, über den berechnet werden kann, welche Zellen darin sichtbar sind und welche außerhalb dieses viewports liegen. Welche Zellen aktuell sichtbar sind Indem die Spaltenbreiten so lange addiert werden, bis die Summe die linke Kante des Viewports erreicht. Alle Zellen links davon werden beim Zeichnen ignoriert. Weiterhin werden die Spaltenbreite Breiten weiter addiert, bis sie die rechte Kante des Viewports erreicht.Alles Zellen rechts davon werden beim Zeichnen ignoriert. Weiterhin werden die Zeilenhöhen entweder aus der Standard Höhe.Des Arbeitsblattes oder über die Benutzer definierten Höhen der Zeilen extrahiert und so lange aufaddiert, bis die Summe die obere Kante des Viewports erreicht.Alle Zellen, die oberhalb dieser Kante liegen, werden beim Zeichnen ignoriert.Die Zeilenhöhen werden weiter aufaddiert, bis sie die.Unsere Kante des Viewports erreicht.Nur diese Zellen werden gezeichnet. Alle Zellen unterhalb dieser Kante werden ignoriert.

das two_dimensional_scrollables package bietet eine Funktion, die es erlaubt, die sichtbaren Zellen zu berechnen und nur diese zu zeichnen. in Dieser Funktion werden das horizontalOffset und das verticalOffset und die viewportWidth und die viewportHeight als Parameter übergeben, die die Position des Viewports in der x und y Achse beschreiben und die genutzt werden kann um daran die sichtbaren zellen zu berechnen. Der Algorithmus zum berechnen der sichtbaren Zellen ist in Algorithmus 1 dargestellt.

Algorithm 1 Layout Spreadsheet Cells in Grid

```

540
541 1: Initialize Indices
542 2:   leadingColumnIndex  $\leftarrow$  column index based on horizontalOffset
543 3:   leadingRowIndex  $\leftarrow$  row index based on the verticalOffset
544 4:   trailingColumnIndex  $\leftarrow$  column index based on horizontalOffset + the viewportWidth
545 5:   trailingRowIndex  $\leftarrow$  row index based on the verticalOffset + the viewportHeight
546 6: Calculate Offsets
547 7:   leadingColumnOffset  $\leftarrow$  sum of widths from the first column to leadingColumnIndex
548 8:   leadingRowOffset  $\leftarrow$  sum of heights from the first row to leadingRowIndex
549 9:   horizontalLayoutOffset  $\leftarrow$  leadingColumnOffset – horizontalOffset
550 10: for each columnIndex from leadingColumnIndex to trailingColumnIndex do
551 11:   verticalLayoutOffset  $\leftarrow$  leadingRowOffset – verticalOffset
552 12:   for each rowIndex from leadingRowIndex to trailingRowIndex do
553 13:     child  $\leftarrow$  build the child for the columnIndex and rowIndex or obtain the cached one
554 14:     layout the child using the current horizontalLayoutOffset and verticalLayoutOffset
555 15:     if the row for rowIndex exists in the worksheet row definitions then
556 16:       verticalLayoutOffset  $\leftarrow$  verticalLayoutOffset + height of the row for rowIndex
557 17:     else
558 18:       verticalLayoutOffset  $\leftarrow$  verticalLayoutOffset + defaultRowHeight
559 19:     end if
560 20:   end for
561 21:   columnWidth  $\leftarrow$  width of the column for columnIndex
562 22:   horizontalLayoutOffset  $\leftarrow$  horizontalLayoutOffset + columnWidth
563 23: end for
564
565
566
```

5 EVALUATION

Der Ansatz des Spreadsheet Data Extractors aus sich auf dem Converter von Alexander Aue et al. auf dem wier aufbauen nicht verändert. Die effektivität dieses Ansatzen wurde bereits untetsucht. Sie haben die Extraktion von Daten aus über 500 Excel Dateien evaluiert. Die Zeit, die für jede Datei benötigt wurde, wurde aus einer Stichprobe von 331 verarbeiteten Excel Dateien bestimmt, die 3.093 Arbeitsblätter umfassen. Im Durchschnitt benötigten die studentischen Hilfskräfte 15 Minuten pro Datei und 95 Sekunden pro Arbeitsblatt.

Wir konzentrieren uns auf die verbessierung der Benutzererfahrung und die Optimierung der Leistung des Spreadsheet Data Extractors. Die Benutzererfahrung durch die Darstellung der Excel-Arbeitsblätter ähnlich wie sie auch in Excel dargestellt werden vereinfacht und die anzahl der nötigen klickts durch die vereinigung der Benutzeroberflächen für die Selektionshierarchie, dem Worksheet-View und der Vorschau der Ausgabe in einem View verringert. Die Leistung wurde durch das inkrementelle laden der Excel Dateien und das nur zeichnen der sichtbaren Zellen verbessert.

6 SUBSECTION

Zum evaluieren der beschleunigung beim öffnen der Datei haben wir eine Reihe von Tests durchgeführt. Wir haben den gesamten Datensatz an Exceldateien von Destatis heruntergeladen und die größte Datei identifiziert. Mithilfe eines VBA Scriptes haben wir diese Exceldatei geöffnet und Werte in einem Arbeitsblatt ausgelesen. Dieser Test wurde 10 mal wiederholt und die Zeit gemessen, die benötigt wurde, um die Datei zu öffnen und die Werte auszulesen. Ein Equivalent dieses Scriptes

589 haben wir als Unit Test geschrieben welcher dieselbe Datei mit der für den Spreadsheet Data
590 Extrator implementierten Funktionen öffnet und dieselben Zellen aussliest. Die Ergebnisse dieser
591 Laufzeiten sind in Abbildung  zu sehen.

592 7 OUTLOOK

593 REFERENCES

- 594
- 595 [] Andrea Ackermann Alexander Aue. 2024. Converting data organised for visual perception into machine-readable
596 formats. In *44. GIL-Jahrestagung, Biodiversität fördern durch digitale Landwirtschaft*. Gesellschaft für Informatik eV,
597 179–184.
 - 598 [] Daniel W Barowy, Sumit Gulwani, Ted Hart, and Benjamin Zorn. 2015. FlashRelate: extracting relational data from
599 semi-structured spreadsheets using examples. *ACM SIGPLAN Notices* 50, 6 (2015), 218–228.
 - 600 [] D.J. Berndt, J.W. Fisher, A.R. Hevner, and J. Studnicki. 2001. Healthcare data warehousing and quality assurance.
601 *Computer* 34, 12 (2001), 56–65. <https://doi.org/10.1109/2.970578>
 - 602 [] Zhe Chen, Michael Cafarella, Jun Chen, Daniel Prevo, and Junfeng Zhuang. 2013. Senbazuru: A prototype spreadsheet
603 database management system. *Proceedings of the VLDB Endowment* 6, 12, 1202–1205.
 - 604 [] Haoyu Dong, Shijie Liu, Shi Han, Zhouyu Fu, and Dongmei Zhang. 2019. Tablesense: Spreadsheet table detection with
605 convolutional neural networks. In *Proceedings of the AAAI conference on artificial intelligence*, Vol. 33. 69–76.
 - 606 [] Angus Dunn. 2010. Spreadsheets—the Good, the Bad and the Downright Ugly. *arXiv preprint arXiv:1009.5705* (2010).
 - 607 [] Julian Eberius, Christoper Werner, Maik Thiele, Katrin Braunschweig, Lars Dannecker, and Wolfgang Lehner. 2013.
608 DeExcelerator: a framework for extracting relational data from partially structured documents. In *Proceedings of the
609 22nd ACM international conference on Information & Knowledge Management*. 2477–2480.
 - 610 [] Elvis Koci, Dana Kuban, Nico Luettig, Dominik Olwig, Maik Thiele, Julius Gonsior, Wolfgang Lehner, and Oscar
611 Romero. 2019. Xlindy: Interactive recognition and information extraction in spreadsheets. In *Proceedings of the ACM
612 Symposium on Document Engineering* 2019. 1–4.
 - 613 [] Kate Lovett. 2023. *two-dimensional, scrollable package – Commit4c16f3e*. Accessed: 2023-08-17.
 - 614 R Core Team. 2019. *R: A Language and Environment for Statistical Computing*. R Foundation for
615 Statistical Computing, Vienna, Austria. <https://www.R-project.org/>
 - 616 Gursharan Singh, Leah Findlater, Kentaro Toyama, Scott Helmer, Rikin Gandhi, and Ravin Balakrishnan. 2009. Numeric paper forms for NGOs. In *2009 International Conference on Information and
617 Communication Technologies and Development (ICTD)*. IEEE, 406–416.
 - 618 Statistisches Bundesamt (Destatis). 2024. *Statistischer Bericht - Pflegekräftevorausberechnung - 2024
619 bis 2070*. Technical Report. Statistisches Bundesamt, Wiesbaden, Germany. <https://www.destatis.de/DE/Themen/Gesellschaft-Umwelt/Bevoelkerung/Bevoelkerungsvorausberechnung/Publikationen/Downloads-Vorausberechnung/statistischer-bericht-pflegekraeftevorausberechnung-2070-5124210249005.html> Statistical Report - Projection of Nursing Staff - 2024 to 2070.
 - 620 Hannah West and Gina Green. 2008. Because excel will mind me! the state of constituent data
621 management in small nonprofit organizations. In *Proceedings of the Fourteenth Americas Conference
622 on Information Systems*. Association for Information Systems, AIS Electronic Library (AISeL).
623 <https://aisel.aisnet.org/amcis2008/336>

624 Received 20 February 2007; revised 12 March 2009; accepted 5 June 2009

625

626

627

628

629

630

631

632

633

634

635

636

637